

05.2; 05.4

© 1992

УГЛОВАЯ И ЧАСТОТНАЯ ЗАВИСИМОСТИ ЗАТУХАНИЯ
ПОВЕРХНОСТНЫХ МАГНИТОСТАТИЧЕСКИХ ВОЛН
В СТРУКТУРЕ ФЕРРИТ -
ВЫСОКОТЕМПЕРАТУРНЫЙ СВЕРХПРОВОДНИК

В.И. Зубков, Б.М. Лебедь,
Э.Г. Локк, В.Д. Харитонов,
В.И. Щеглов, С.В. Яковлев

В связи с перспективностью использования слоистых структур феррит - высокотемпературный сверхпроводник (ниже структур Ф-ВТСП) для создания различных устройств спинволновой электроники СВЧ [1] представляет интерес исследование влияния движения вихрей Абрикосова на распространение поверхностных магнитостатических волн (ПМСВ) в таких структурах. Хотя этому исследованию и посвящен ряд теоретических [2-4] и экспериментальных [3, 5-8] работ, некоторые аспекты взаимодействия ПМСВ и вихрей Абрикосова остались невыясненными из-за различных трудностей. Ниже приведены результаты экспериментального исследования угловой и частотной зависимостей затухания ПМСВ в структуре Ф-ВТСП, обусловленного движением таких вихрей.

Экспериментально установлено, что в структурах Ф-ВТСП возбуждаются ПМСВ с малыми волновыми числами k (в [3, 6, 7] с $k < 50 \text{ см}^{-1}$, а в [5, 8] с $k < 300 \text{ см}^{-1}$). Закон дисперсии таких ПМСВ практически неотличим от законов дисперсии ПМСВ в структурах феррит-металл и феррит-диэлектрик-металл [3-5, 8]. Однако неожиданно большое затухание ПМСВ в структуре Ф-ВТСП по сравнению с их затуханием в ферритовой пленке и в структуре феррит-металл [3-8] правильно оценивается только на основе закона дисперсии ПМСВ в структуре Ф-ВТСП [3, 4]. Наиболее четко объяснение такого поведения дисперсии и затухания ПМСВ дано в [4], где получено дисперсионное соотношение для ПМСВ в структуре Ф-ВТСП с учетом движения вихрей Абрикосова:

$$i\zeta D_o - D_m = 0, \quad (1)$$

где

$$\zeta = B_0 \Phi_0 k \sin^2 \varphi [4\pi d_c (\omega \gamma - i\beta)]^{-1}, \quad (2)$$

$D_o = 0$ и $D_m = 0$ – дисперсионные соотношения для ПМСВ в ферритовой пластине и в структуре феррит-металл (идеальный), B_0 –

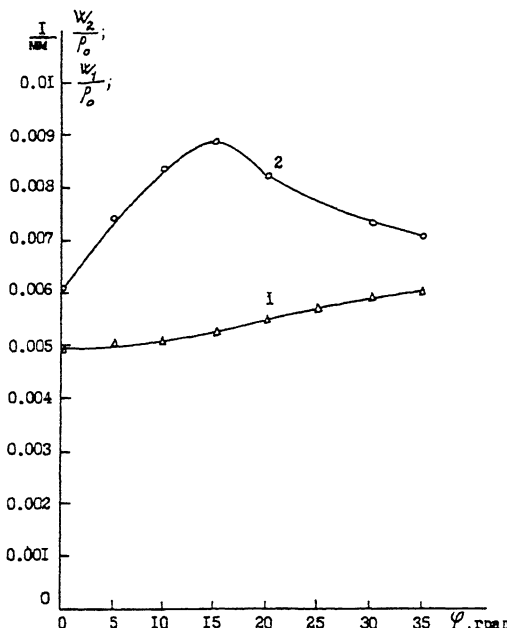


Рис. 1. Зависимости отношений погонных затуханий $W_1,2$ к мощности СВЧ сигнала P_0 от угла φ . Кривые: 1 - $W_1 P_0^{-1}$; 2 - $W_2 P_0^{-1}$.

статическая индукция магнитного поля в ВТСП, Φ_0 - квант магнитного потока, k - волновое число ПМСВ, φ - угол между волновым вектором \vec{k} и нормалью к полю подмагничивания H_0 , $\omega = 2\pi f$ - частота ПМСВ, γ - коэффициент вязкого трения в ВТСП, β - коэффициент жесткости, учитывающий пиннинг, d_c - толщина пленки ВТСП.

Из (1) видно, что при $\zeta \rightarrow 0$ влияние ВТСП на дисперсию ПМСВ в ферритовом слое аналогично влиянию идеального металла, а при $\zeta \rightarrow \infty$ влияние ВТСП отсутствует.

Если пиннинг настолько велик, что $\beta \gg \omega \gamma$, то "вихревые" потери ПМСВ малы, и влияние ВТСП обусловливает закон дисперсии ПМСВ, отличный как от $D_0 = 0$, так и от $D_m = 0$. Во всех известных экспериментах [3, 5-8] такая ситуация не наблюдалась.

Если пиннинг мал, то ζ вещественно, и влияние ВТСП обусловливает закон дисперсии ПМСВ, близкий к $D_m = 0$, при наличии затухания ПМСВ, вызванного движением вихрей Абрикосова. При $\zeta \ll 1$ это затухание $\Gamma(\omega, \varphi)$ равно:

$$\Gamma(\omega, \varphi) = \zeta D_0(\omega, \varphi) [\partial D_m(\omega, \varphi) / \partial \omega]^{-1}. \quad (3)$$

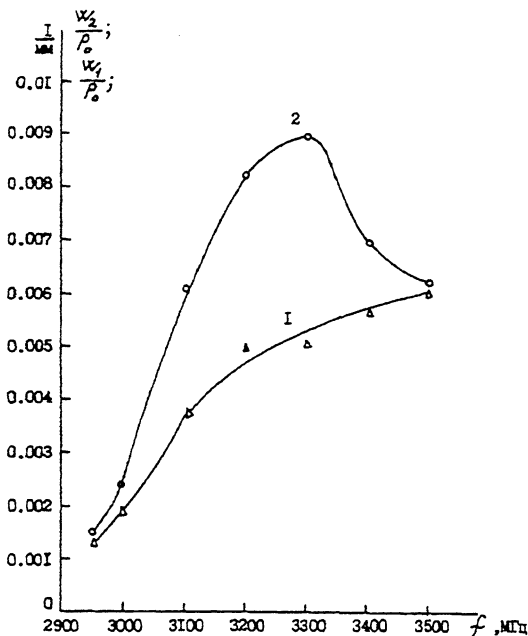


Рис. 2. Зависимости отношений погонных затуханий $W_{1,2}$ к мощности СВЧ сигнала P_0 от частоты ПМСВ f . Кривые: 1 - $W_1 P_0^{-1}$; 2 - $W_2 P_0^{-1}$.

С одной стороны, $\Gamma(\omega; \varphi) = 0$ при $\zeta = 0$ (из-за того, что угол $\varphi = 0$ и сила Лоренца, действующая на вихри Абрикосова, равна нулю), и монотонно растет с увеличением угла φ . С другой стороны, при приближении угла φ к углу отсечки $\varphi_{\text{отс}}$ длина ПМСВ стремится к нулю, так что она не может проникать в ВТСП и тратить свою энергию на движение вихрей Абрикосова, поэтому и затухание $\Gamma(\omega, \varphi_{\text{отс}})$ также должно стремиться к нулю. Это означает, что функция $\Gamma(\varphi)$ имеет максимум при некотором угле φ_{max} , удовлетворяющем неравенству:

$$0 < \varphi_{\text{max}} < \varphi_{\text{отс}}. \quad (4)$$

Из (1) и (2) следует, что при любом угле φ в пределах (4) максимум должна иметь и зависимость $\Gamma(\omega)$. Хотя формулы (1)-(4) строго справедливы для тонкой пленки ВТСП ($d_c \ll k^{-1}$), качественные выводы сохраняются и для случая „толстого“ ВТСП.

Эксперименты по измерению зависимостей $\Gamma(\omega)$ и $\Gamma(\varphi)$, как и дисперсии в [8], проводились на частотах 2–4 ГГц при температуре $T = 77$ К. Структура Ф-ВТСП состояла из контактирующих пленки железоиттриевого граната (ЖИГ) с размерами

25x25 мм² и толщиной 12.5 мкм с намагниченностью насыщения 4 πM₀, равной 1830 Гс при T=300 К и 2565 при T=77 К, и пластины из керамики состава $YBa_2Cu_3O_{7-x}$ размерами 3x3x10 мм³, имеющей температуру перехода в сверхпроводящее состояние (нижняя граница) T_c=90 К и ширину перехода ΔT_c=4 К. Постоянное подмагничивающее поле H₀, равное 366 Э, прикладывалось в плоскости пленки ЖИГ. Возбуждение и прием ПМСВ осуществлялись подвижными проволочными антennами диаметром 12 мкм и длиной 4 мм, ориентированными под углом φ к полю H₀ и ребру в 10 мм образца ВТСП. Дисперсия ПМСВ в этой структуре изучена в [8]. Определялись зависимости погонных (на единичный отрезок пути пучка ПМСВ) затуханий мощности при прохождении СВЧ-сигнала через пленку ЖИГ (W₁) и структуру Ф-ВТСП (W₂) от частоты ПМСВ f и угла φ. При этом сначала возбуждающая антenna ставилась под произвольным углом φ в пределах (4) и снимались зависимости W₁(f) и W₂(f), затем частота ПМСВ устанавливалась равной частоте f_{max}, на которой наблюдался максимум зависимости W₂(f), и снимались зависимости W₁(φ) и W₂(φ) (смотри ниже рис. 1), и, наконец, устанавливался угол φ, равный углу φ_{max}, на котором наблюдался максимум зависимости W₂(φ), и снова снимались зависимости W₁(f) и W₂(f) (рис. 2). На рис. 1 и 2 погонные затухания W₁ и W₂ нормированы на мощность P₀, поступающую на возбуждающую МСВ антенну (соответственно кривые 1 и 2). Очевидно, что отношения W_{1,2}/P₀ прямо пропорциональны T(ω, φ). На рис. 1 частота ПМСВ f = f_{max}=3300 МГц, а на рис. 2 угол φ = φ_{max}=15°. Из рис. 1 и 2 видно, что эксперимент подтверждает монотонный характер зависимостей W₁(f) и W₁(φ), как это следует из соотношения D₀=0, и немонотонный характер зависимостей W₂(f) и W₂(φ), как это следует из (1) и (3) и [4]. Однако существуют и некоторые отличия между экспериментальными данными и результатами, предсказываемыми теорией [4]. Так из рис. 1 видно, что при углах φ=0 и φ → φ_{opt} имеет место „вихревое“ затухание ПМСВ (кривая 2 идет выше кривой 1), хотя по [4] этого не должно быть (вихревое затухание ПМСВ при φ=0 впервые обнаружено в [7]). Возможно, что оно связано с существованием вихрей Джозефсона.

Список литературы

- [1] Альтман А.Б., Лебедь Б.М., Никифоров А.В., Яковлев И.А., Яковлев С.В. // СФХТ (сверхпроводимость: физика, химия, техника). 1990. Т. 3. № 10. Ч. 1. С. 2205-2216.
- [2] Попков А.Ф. // Письма в ЖТФ. 1989. Т. 15. № 5. С. 9-14; // ЖТФ. 1989. Т. 59. № 9. С. 112-117.

- [3] Анифиногенов В.Б., Гуляев Ю.В., Зильберман П.Е., Котелянский И.М., Ползикова Н.И., Суханов А.А. // Письма в ЖТФ. 1989. Т. 15. № 14. С. 24-28; // СФХТ. 1989. Т. 2. № 12. С. 5-14.
- [4] Беспятых Ю.И., Симонов А.Д., Харитонов В.Д. // Письма в ЖТФ. 1990. Т. 16. № 23. С. 27-32.
- [5] Лебедь Б.М., Яковлев С.В. // Письма в ЖТФ. 1989. Т. 15. № 19. С. 27-29.
- [6] Чивилева О.А., Гуревич А.Г., Анисимов А.Н., Карманенко С.Ф. // Письма в ЖТФ. 1990. Т. 16. № 3. С. 17-20.
- [7] Альтман А.Б., Лебедь Б.М., Никифоров А.В., Яковлев С.В. // СФХТ. 1990. Т. 3. № 4. С. 564-569.
- [8] Вашковский А.В., Зубков В.И., Лебедь Б.М., Локк Э.Г., Щеглов В.И., Яковлев С.В. // Письма в ЖТФ. 1991. Т. 17. № 9. С. 67-70.

Институт радиотехники
и электроники РАН
(Фрязинская часть)

Поступило в Редакцию
13 мая 1992 г.